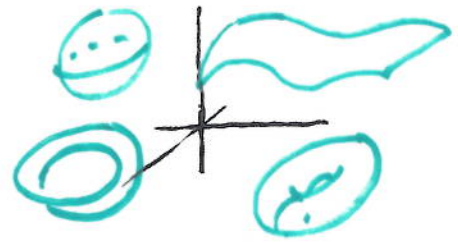


# SUPERFICIES

UNA SUPERFICIE EN ESPACIO ENTENDEMOS COMO UN SUBCONJUNTO  $\Sigma \subset \mathbb{E}^3$  DADO LOCALMENTE POR PARAMETRIZACIONES EN DOS VARIABLES, O CARTAS:



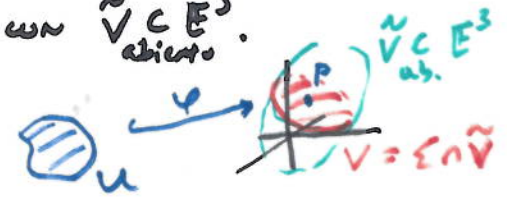
UNA CARTA O PARAM. LOCAL DE UN REGIÓN  $V \subset \mathbb{E}^3$  ES UNA APLICACIÓN  $\mathbb{R}^2 \supset U \xrightarrow{\varphi} V$  QUE ES BIYECTIVA, DIFERENCIABLE, Y REGULAR ( $d\varphi$  inyectiva).

SE PUEDE PENSAR DE UNA SUPERFICIE COMO EXISTENTE EN VARIAS CARTAS 'PEGAOS JUNTOS EN UNA MANERA SUAVE':



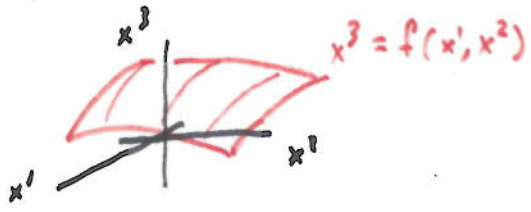
LLAMAMOS DOS CARTAS COMPATIBLES SI LA FUNCIÓN DE TRANSICIÓN:  
 $\varphi_2^{-1} \circ \varphi_1 : W \subset \mathbb{R}^2 \rightarrow W' \subset \mathbb{R}^2$   
ab. ab.  
 ES DIFERENCIABLE.

ENTONCES POR UNA SUPERFICIE  $\Sigma \subset \mathbb{E}^3$ , SIGNIFICAMOS QUE PARA CADA  $p \in \Sigma$ ,  $\exists$  UNA CARTA  $U \hookrightarrow V = \Sigma \cap \tilde{V} \ni p$  CON  $\tilde{V} \subset \mathbb{E}^3$  ABIERTO.  
 ADEMÁS TODOS TALES CARTAS DEBERÍAN SER COMPATIBLES. UNA COLECCIÓN DE TALES CARTAS QUE CUBRE  $\Sigma$  LLAMAMOS UN ATLAS DE  $\Sigma$ .



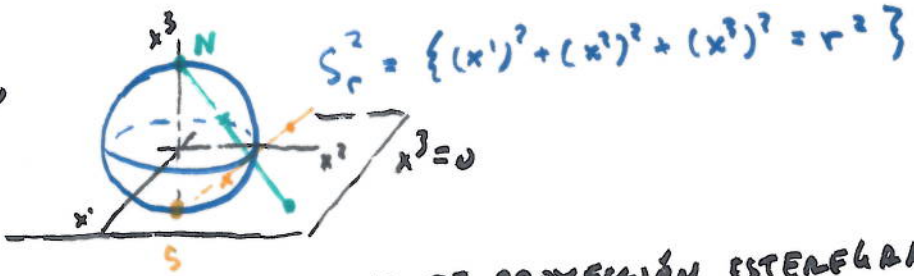
Ejemplos:

1) GRÁFICAS,



\* CADA SUPERFICIE ES LOCALMENTE UNA GRÁFICA \*

2) Esferas,



TENEMOS UN ATLAS CON DOS CARTAS DE PROYECCIÓN ESTEREOGRÁFICA AL PLANO  $\{x^3=0\}$  DESDE 'POLO NORTE'  $N=(0,0,r)$  Y 'POLO SUR'  $S=(0,0,-r)$ :

$$\mathbb{R}^2 \xrightarrow{\varphi_N} S_r^2 \setminus N$$

$$(x^1, x^2) \mapsto \left( 2r^2 x^1, 2r^2 x^2, \frac{r((x^1)^2 + (x^2)^2 - r^2)}{(x^1)^2 + (x^2)^2 + r^2} \right)$$

$$\mathbb{R}^2 \xrightarrow{\varphi_S} S_r^2 \setminus S$$

$$(x^1, x^2) \mapsto \left( 2r^2 x^1, 2r^2 x^2, \frac{r(r^2 - (x^1)^2 - (x^2)^2)}{(x^1)^2 + (x^2)^2 + r^2} \right)$$

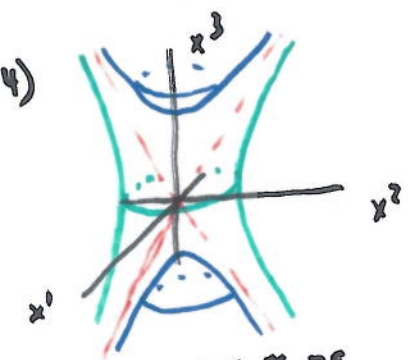
QUE SON COMPATIBLES, YA QUE  $\varphi_N^{-1} \circ \varphi_S: \mathbb{R}^2 \setminus \{0\} \rightarrow \mathbb{R}^2 \setminus \{0\}, (x^1, x^2) \mapsto \frac{r^2(x^1, x^2)}{(x^1)^2 + (x^2)^2}$ .

3) GENERAMOS UNA SUPERFICIE DE REVOLUCIÓN POR RODEANDO UNA CURVA PLANA,  $C$ , ALREDEDOR UNA LINEA,  $L$  (EJE), CONTENIDO EN EL MISMO PLANO QUE  $C$ . EN UNOS CART. CON  $L = \{(0, 0, x^3)\}$  y  $C$  param. por  $(x^1(t), 0, x^2(t))$



tenemos su param:  $(x^1(t)\cos\theta, x^1(t)\sin\theta, x^2(t))$ ,  $t \in \mathbb{R}, \theta \in S^1$ .

POR EJEMPLO, EL TUBO DE REV. OBTENEMOS POR RODEANDO UN CÍRCULO ALREDEDOR UN EJE.



CONJUNTO NIVELES DE  $(x^1)^2 + (x^2)^2 - (x^3)^2$

TENEMOS SUPERFICIES IMPLICITAS, DEFINIDOS COMO UN CONJUNTO NIVEL DE UN FUNCIÓN REAL  
 $E := f^{-1}(c.h.)$  CON  $f: E^3 \rightarrow \mathbb{R}$  t.q.  $df_p \neq 0 \forall p \in E$ .  
 POR LA TEOREMA DE FUNCIONES IMPLÍCITA, TALES CONJUNTOS NIVELES ADMETEN PARAMÉTRICO LOCAL Y COMPATIBLES (ES DECIR TIENEN UN ATLAS).

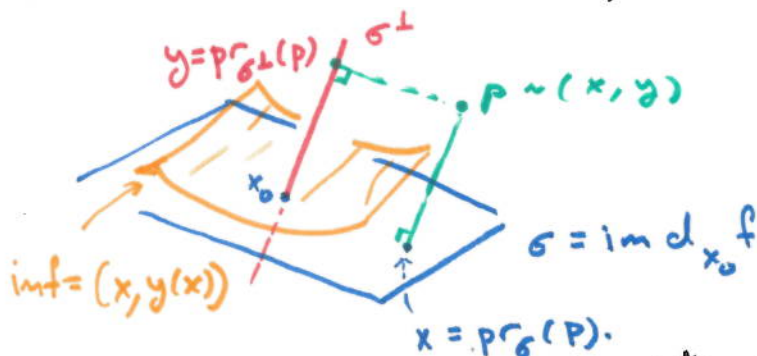
LINEARIZACIÓN → forma normal local de aplicaciones:

1) TEOREMA FUNCIONES INVERSA. PARA  $f: E^n \xrightarrow{\text{diff.}} E^m$  CON  $df_x f$  INVERTIBLE, EXISTE UN BARRIO  $U \ni x_0$  PARA QUE  $U \xrightarrow{f} f(U)$  ES BIYECTIVO Y ADemás  $f^{-1}$  ES DIFERENCIABLE. (ESCRIBIMOS IVT PARA ESTE TEOREMA)

2) inmersión:  $E^k \xrightarrow{f} E^{k+n}$  con  $d_{x_0} f$  inyectiva. ENTONCES (3)

$\exists$  BARRIO  $U \ni x_0$  y coordenadas locales t.q.

$$\begin{array}{ccc} U & \xrightarrow{f} & f(U) \\ \updownarrow & & \updownarrow \\ \mathbb{R}^k & \xrightarrow{\iota} & \mathbb{R}^k \times \mathbb{R}^n \\ x & \longmapsto & (x, 0) \end{array}$$



\* la demostración sigue de IVT. Sea  $\sigma = \text{im } d_{x_0} f \cong E^k$  lo que determina una dirección  $E^{k+n} = \sigma \oplus \sigma^\perp \cong E^k \times E^n \ni (x, y)$ .

Por REGLA DE CADENA, y IVT el primer componente de  $S \circ f$  es localmente invertible. ENTONCES  $\exists U$  t.q.  $(f_1, f_2): E^k \rightarrow E^k \times E^n$

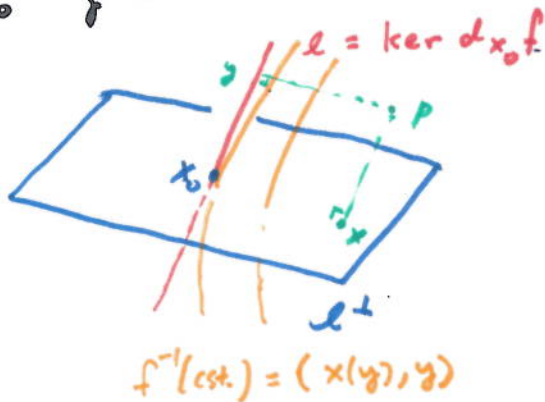
$$\begin{array}{ccc} x_0 \in U & \xrightarrow{f} & E^{k+n} \\ f_1 \downarrow & & \downarrow S \\ E^k & \xrightarrow{\hat{f}} & E^k \times E^n \end{array}$$

con  $\hat{f}(x) = (x, y(x))$  algún  $y: E^k \rightarrow E^n$  diff. OBTENEMOS LA FORMA NORMAL con  $\hat{S} = t \circ S$  en LUOGO DE  $S$ , donde  $t(x, y) = (x, y - y(x))$ .

3) submersión:  $E^{k+n} \xrightarrow{f} E^k$  con  $d_{x_0} f$  suryectiva. ENTONCES

$\exists$  BARRIO  $U \ni x_0$  y coordenadas locales t.q.

$$\begin{array}{ccc} U & \xrightarrow{f} & f(U) \\ \updownarrow & & \updownarrow \\ \mathbb{R}^k \times \mathbb{R}^n & \xrightarrow{\pi} & \mathbb{R}^k \\ (x, y) & \longmapsto & x \end{array}$$

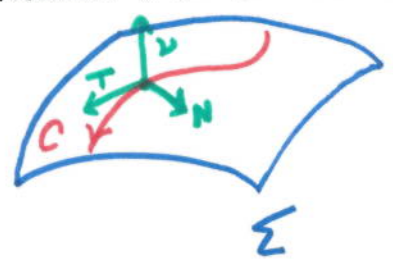


\* la demostración con IVT es similar a (2), usando la descomposición  $E^{k+n} = l \oplus l^\perp \cong E^k \times E^n$ . SE CONSIDERA  $E^{k+n} \xrightarrow{f} E^k$  y verificar la aplicación  $(x, y) \mapsto (\bar{f}(x, y), y)$  es localmente invertible. \*

\* OTRA FORMA QUE LLEVA A LA TEOREMA DE FUNCIONES IMPLICITAS EN CONSIDERANDO LAS CONJUNTOS NIVEL DE  $f \circ \iota$  \*

# CURVAS EN SUPERFICIES

CONSIDERAMOS CURVAS  $C \subset \Sigma \subset \mathbb{E}^3$ . TAL CURVAS TIENEN UNA NATURAL MARCO MOVIL ADAPTADO AL SUPERFICIE:



- $T(p)$  es tangente a  $C$  dirigida conforme a la orientación de  $C$
- $v(p)$  es normal a  $\Sigma$
- $N(p) = T(p) \times v(p)$ .

TENEMOS LAS ECUACIONES FUNDAMENTALES:  $T' = \omega T + \kappa_1 v$ ,  $N' = \omega \times N$ ,  $v' = \omega \times v$   
 con  $\omega = \tau_n T - \kappa_n N + \kappa_g v$ . LAS FUNCIONES  $\kappa_n, \kappa_g$  SON LA ACCELERACIÓN NORMAL Y TANGENTE DE LA CURVA. TAMBIÉN LLAMAMOS  $\kappa_g = \kappa_{geo}$  la curvatura geodésica de  $C \subset \Sigma$ .

OBSEVA QUE EN UNA PARAM. CON RESPECTO A LONG. DE UN ARCO,  $c(s)$ ,

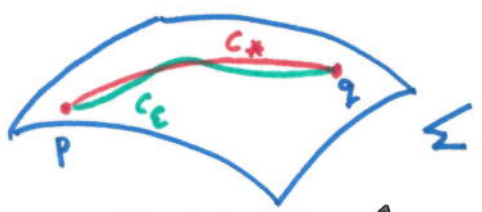
$$c'' = \kappa_n v + \kappa_{geo} N.$$

\* LA ACCELERACIÓN QUE SE PUEDE MEDIR EN LA SUPERFICIE ES  $\kappa_{geo}$ .  
 CURVAS CON  $\kappa_{geo} \equiv 0$  SON CANDIDATOS PARA generalizar 'líneas' en  $\Sigma$  \*

LLAMAMOS geodésicas CURVAS EN  $\Sigma$  ~~curvas~~ con  $\kappa_{geo} \equiv 0$ .

Geodésicas de  $\Sigma$  son extremales de la longitud restringida a  $\Sigma$  (CURVAS QUE MINIMIZAN LONGITUD POR  $\Sigma$  ENTRE DOS PUNTOS DON DEBEN ESTAR)

1) FIJAMOS DOS PUNTOS  $p, q \in \Sigma$  y CONSIDERAMOS  $c \mapsto \int_0^1 |c'| dt = l(c)$  donde  $c(0) = p, c(1) = q$  y  $inc \in \Sigma$ .



2) SUPONE QUE  $c_{\#} : p \rightarrow q$  es una CURVA EN  $\Sigma$  QUE EXTREMIZA  $l$ .  
 OBSEVA QUE  $l(c_{\#})$  NO DEPENDE DE LA PARAM DE  $c_{\#}$ , ENTONCES PODEMOS SUPONER QUE  $|c'_{\#}| = cst$ .

SEA  $c_{\epsilon}$  UNA VARIACIÓN DE  $c_{\#}$ , y pon  $\eta := \frac{d}{ds} \Big|_0 c_{\epsilon} \in T\epsilon \Big|_{c_{\#}}$

3) CALCULAMOS:  $\frac{d}{d\epsilon} \int_0^1 l(c_\epsilon) = \int_0^1 \lambda \ddot{c}_\epsilon \cdot \dot{\gamma} dt$  donde  $\lambda \neq 0$  es constante.

INTEGRANDO POR PARTES Y TOMANDO EN CUENTA  $\eta(0) = \eta(1) = 0$  ( $c_\epsilon(0) = p$  en  $c_\epsilon(1) = q$  fijados)

TENEMOS:  $\frac{d}{d\epsilon} \int_0^1 l(c_\epsilon) = \lambda \int_0^1 \ddot{c}_\epsilon \cdot \dot{\gamma} dt$

AHORA SI  $K_{\gamma(t)}(c_\epsilon(t)) \neq 0$  ALGÚN  $t$ , PODEMOS USAR UNA FUNCIÓN DE GOLPE PARA OBTENER UNA VARIACIÓN CON  $\frac{d}{d\epsilon} \int_0^1 l(c_\epsilon) \neq 0$ .

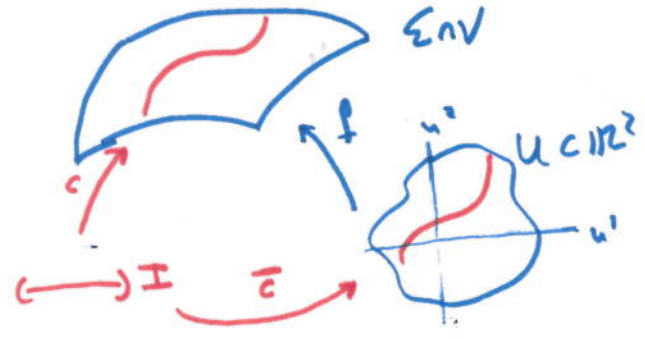
\* MÁS ÚTIL EN COMPUTACIONES, UNO PUEDE MOSTRAR QUE GEODÉSICAS SON EXTREMALES DE  $c \mapsto \int |\dot{c}(t)|^2 dt = E(c)$ . \*

DERIVAMOS LA CONDICIÓN DE SER GEODÉSICA EN COORDENADAS.  
 Sea  $(u^1, u^2) \in U \hookrightarrow f(u^1, u^2) \in \Sigma \cap V$  coordenadas locales.

UNA CURVA PARAMETRIZADA EN  $\Sigma \cap V$   $c: I \rightarrow \Sigma \cap V$  PODEMOS EXPRESAR EN TAL FORMA  $\tilde{c} = f^{-1} \circ c: I \rightarrow U$ ,  $t \mapsto (u^1(t), u^2(t))$ .

COMO COMENTAREMOS, LA CONDICIÓN DE SER GEODÉSICA ES DE SER EXTREMAL DE  $c \mapsto E(c) = \int |\dot{c}|^2$ .

DEBIDO  $\dot{c} = \partial_{u^1} f \dot{u}^1 + \partial_{u^2} f \dot{u}^2$ , ESTE CONDICIÓN EN COORDENADAS ES EXTREMALIDAD:



$(u^1(t), u^2(t)) \mapsto \frac{1}{2} \int E(\dot{u}^1)^2 + 2F \dot{u}^1 \dot{u}^2 + G(\dot{u}^2)^2 dt$  (\*)

donde  $E(u) = \partial_{u^1} f \cdot \partial_{u^1} f|_u$ ,  $F(u) = \partial_{u^1} f \cdot \partial_{u^2} f|_u$ ,  $G(u) = \partial_{u^2} f \cdot \partial_{u^2} f|_u$ .

\* NOTACIÓN:  $E = g_{11}$ ,  $F = g_{12} = g_{21}$ ,  $G = g_{22}$ . PONEMOS  $ds^2 = g_{ij} du^i du^j$ . OBSERVA QUE  $\Sigma$  TIENE UNA 'MÉTRICA' INDUCIDA POR RESTRICCIÓN DE PRODUCTO INTERIOR (PRODUCTO DE 'DOT') DE  $\mathbb{R}^3$ , ES DECIR FORMABILIDADES, SIMÉTRICA Y POSITIVA DEFINIDA EN CADA ESPACIO TANGENTE:

$(v_1, v_2) \in T_p \Sigma \times T_p \Sigma \xrightarrow{I_p} v_1, v_2 \in \mathbb{R}$ .

llamamos  $I: T\Sigma \times T\Sigma \rightarrow \mathbb{R}$  la primera forma fundamental de  $\Sigma$ . la métrica se expresa en coordenadas por 'retomar'  $I$  por  $f$ :

$f^* I(u_1, u_2) := I(df u_1, df u_2) = df(u_1) \cdot df(u_2)$ .

Regresando a (\*), las geodesicas satisfacen las ECUACIONES DE EULER-LAGRANGE asociada a (\*), que son:

$$\frac{d}{dt} L_u(u, \dot{u}) = L_u(u, \dot{u}) \quad \text{con} \quad L(u, \dot{u}) = \frac{1}{2} \dot{u} \cdot g \dot{u}, \quad g = \begin{pmatrix} g_{11} & g_{12} \\ g_{12} & g_{22} \end{pmatrix}$$

o  $\frac{d}{dt} g \dot{u} = \frac{1}{2} \dot{u} \cdot g_u \dot{u}$ , con un poco ALGEBRA conduce a:

$$g \ddot{u} + \begin{pmatrix} \frac{1}{2} g_{11,1} (\dot{u}^1)^2 + g_{11,2} \dot{u}^1 \dot{u}^2 + (g_{12,2} - \frac{1}{2} g_{22,1}) (\dot{u}^2)^2 \\ (g_{12,1} - \frac{1}{2} g_{11,2}) (\dot{u}^1)^2 + g_{22,1} \dot{u}^1 \dot{u}^2 + \frac{1}{2} g_{22,2} (\dot{u}^2)^2 \end{pmatrix} = 0$$

(con  $g_{ij,k} := \partial_{u^k} g_{ij}$ ). EN PARTICULAR, ES CUADRÁTICA EN LAS VELOCIDADES. INTRODUCIMOS LA NOTACIÓN  $\tau_{ijk}$  para los COEFICIENTES:

$$g \ddot{u} + \begin{pmatrix} \tau_{111} (\dot{u}^1)^2 + 2\tau_{112} \dot{u}^1 \dot{u}^2 + \tau_{122} (\dot{u}^2)^2 \\ \tau_{211} (\dot{u}^1)^2 + 2\tau_{212} \dot{u}^1 \dot{u}^2 + \tau_{222} (\dot{u}^2)^2 \end{pmatrix} = 0$$

APLICANDO  $g^{-1}$  CONDUCE A LA SISTEMA DE EDS:

$$\ddot{u}^i + \Gamma_{11}^i (\dot{u}^1)^2 + 2\Gamma_{12}^i \dot{u}^1 \dot{u}^2 + \Gamma_{22}^i (\dot{u}^2)^2 = 0 \quad i=1,2$$

DONDE  $\begin{pmatrix} \Gamma_{jk}^1 \\ \Gamma_{jk}^2 \end{pmatrix} := g^{-1} \begin{pmatrix} \tau_{ijk} \\ \tau_{2jk} \end{pmatrix}$  son los simbolos de Christoffel.  
 $ijk \in \{1,2\}$

PROPIEDADES DE  $\Sigma$  DERIVADO DE  $I$  llamamos propiedades INTRINSICAS DE  $\Sigma$ , YA QUE SOLO REQUIERE CONOCER como MEDIR DISTANCIAS/ANGULOS EN  $\Sigma$  (en decir saber los coeficientes  $g_{ij}$  en algùn CARTA).

CUALQUIER PROPIEDADES INTRINSICAS SERÁN PRESERVADAS BAJO 'DOBLANDOS' DE LA SUPERFICIE, O ISOMETRIAS DE LA SUPERFICIE:

$\varphi: E^3 \rightarrow E^3$  t.q.  $\varphi(\Sigma) = \tilde{\Sigma}$  y  $\varphi$  preserva dist y angulos en  $\Sigma$ :  $d_{\tilde{\Sigma}}(\varphi(p), \varphi(q)) = d_{\Sigma}(p, q)$   
 p.ej.  $\varphi^* \tilde{I} = I$ .

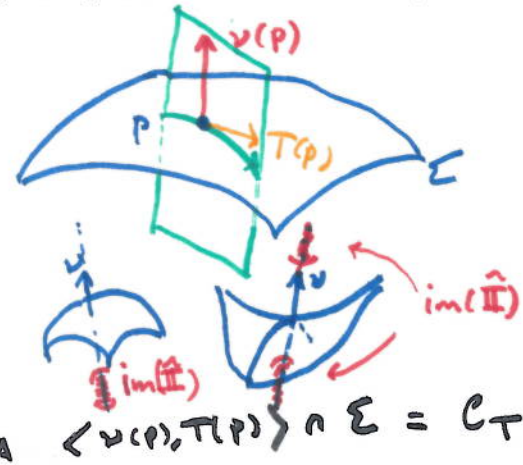
# GEOMETRÍA EXTRÍNSICA

CON PROPIEDADES EXTRÍNSICAS DE  $\Sigma \subset \mathbb{R}^3$  referimos a tales propiedades preservadas por aplicaciones isométricas de  $\mathbb{E}^3$ . EN PARTICULAR PENSAMOS DE CANTIDADES MEDIBLES SOLO CON TOMAR EN CUENTA COMO  $\Sigma \subset \mathbb{E}^3$  está encajado en espacio.

PARA MEDIR COMO  $\Sigma$  se encuentra contenido en un PLANO ALREDEDOR DE  $P \in \Sigma$ , PODEMOS ESQUEJAR  $\Sigma$  POR PLANOS PASANDO POR  $P$ , Y CONTENIENDO  $\nu(P)$  (NORMAL).

CADA REBANADA DE  $\Sigma$  por tal PLANO RESULTE EN UNA CURVA PLANAR EN  $\Sigma$  Y PASANDO POR  $P$ .

PODEMOS ENVIAR CADA VECTOR UNITARIO  $T \in T_p \Sigma \mapsto \hat{\Pi}_p(T, T) := K_n \in \mathbb{R}$  a la aceleración NORMAL DE LA CURVA



Sea  $c(\lambda)$  parametr. por longitud de  $C_T$  con  $c(0) = P, c'(0) = T$ .  
 ENTONCES  $\hat{\Pi}_p(c'(0), c'(0)) = \nu(0) \cdot c''(0)$  con  $\nu(\lambda) := \nu(c(\lambda))$ .

DE  $\nu(\lambda) \cdot c'(\lambda) = 0 \Rightarrow \nu'(\lambda) \cdot c'(\lambda) = -\nu(\lambda) \cdot c''(\lambda)$ , ENTONCES  
 $\hat{\Pi}_p(c'(0), c'(0)) = -\nu'(0) \cdot c'(0)$ . PODEMOS EXTENDER  $\hat{\Pi}$

a UNA FORMA BILINEAL  $T_p \Sigma \times T_p \Sigma \rightarrow \mathbb{R}$  POR  
 $\Pi_p(v_1, v_2) := -d_p \nu(v_1) \cdot v_2$ , la segunda forma fundamental de  $\Sigma$ .

~~llamamos~~ De  $\nu: \Sigma \rightarrow S^2$ ,  $d\nu_p: T_p \Sigma \rightarrow T_{\nu(p)} S^2 = \nu(p)^\perp \cong T_p \Sigma$ ,  
 llamamos  $L_p := -d_p \nu: T_p \Sigma \rightarrow$  la aplicación de WEINGARTEN,  
 ó OPERADOR DE FORMA.

- LA FORMA  $\Pi$  es simétrica  $\Rightarrow$  AUTOVALORES de  $L$  son REAL
- CON AUTOVECTORES ORTONORMAL.
- ESTOS AUTOVALORES / VECTORES SON LOS EXTREMA DE  $\hat{\Pi}$ .



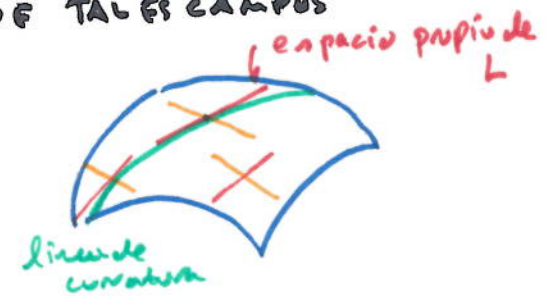
LAS AUTOVALORES,  $K_1, K_2$  del OPERADOR DE FORMAS  $L$  llamamos  
LAS CURVATURAS PRINCIPALES de  $\Sigma$ .

\*  $K_i$  son preservados por aplicaciones isométricas del espacio AMBIENTE.  
NO SON NECESARIAMENTE PRESERVADOS BASTO DOBLANDO LA SUPERFICIE \*



DOBLANDO UNA HOJA DE PAPEL PRESERVA LA  
GEOMETRÍA INTRÍNSICA, PERO PUEDE CAMBIAR LOS  $K_i$ 's.

TAMBIÉN ASOCIADO A LA FORMA II, tenemos en los puntos con  
 $K_1 \neq K_2$  dos DIRECCIONES PRINCIPALES: las líneas representadas por  
los espacios propios de  $L$ . (PUNTOS CON  $K_1(p) = K_2(p)$  son llamados  
PUNTOS UMBILICOS) ENTONCES TENEMOS DOS CAMPOS LINEAL SOBRE  
 $\Sigma \setminus \{\text{PUNTOS UMBILICOS}\}$ . CURVAS INTEGRALES DE TALES CAMPOS  
LINEALES SON LÍNEAS DE CURVATURA DE  $\Sigma$ .



\* isometría ambiente de  $E^3$  preservan líneas  
de curvatura. Si existe  $\varphi: \Sigma \rightarrow \tilde{\Sigma}$   $\varphi \mapsto \tilde{\varphi} \in \tilde{\Sigma}$   
entonces  $\varphi$  envía las líneas de curvatura por  $p$   
a las por  $\tilde{p}$ .

\* se puede usar las líneas de curvatura para definir  
UNA BUENA SISTEMA DE COORDENADAS (EN QUE  $f^*I, f^*II$  son DIAGONAL)

Similarmente, direcciones en el KERNEL DE  $II$ , generan campos  
de líneas sobre  $\Sigma \setminus \{p: K_1(p)K_2(p) > 0\}$ . TALES DIRECCIONES  
LLAMAS LAS DIRECCIONES ASIMPTÓTICAS, Y SUS CURVAS INTEGRALES LAS  
LÍNEAS ASIMPTÓTICAS DE  $\Sigma$ . Si  $\Sigma$  CONTIENE UNA línea, tal  
línea es una línea asintótica de  $\Sigma$ .

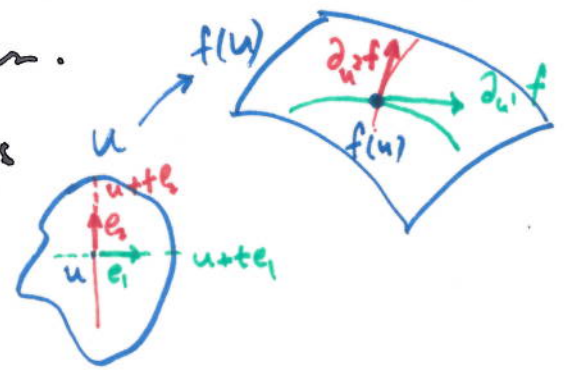
AHORA DETERMINAMOS EXPRESIONES EN COORDENADAS LOCALES PARA  
ESTOS ASPECTOS DE LA GEOMETRÍA EXTRÍNSICA DE  $\Sigma$ .

Sea  $(u, v) \xrightarrow{f} \Sigma$  como localer.

UN BASE COORDENADA PARA ESPACIOS TANGENTES  
OBTENEMOS POR TOMANDO IMÁGENES DE BASE  
ESTANDARD  $e_1 = (1, 0), e_2 = (0, 1)$  de  $\mathbb{R}^2$ ,

$d_u f \left( \begin{pmatrix} 1 \\ 0 \end{pmatrix} \right) = \partial_u f|_u, \quad d_u f \left( \begin{pmatrix} 0 \\ 1 \end{pmatrix} \right) = \partial_v f|_u$

son UN BASE PARA  $T_{f(u)}\Sigma$ .



ENTONCES, PODEMOS EXPRESAR EL NORMAL  $\nu: \Sigma \rightarrow S^1$  en coordenadas (6)

$$f_u \nu \circ f(u) =: \nu(u) = \frac{\partial_u f \times \partial_u z f}{|\partial_u f \times \partial_u z f|} \quad (*)$$

LA FORMA  $f^* \Pi$  es bilinear, entonces determinamos sus coeficientes en el base estandar  $e_1, e_2$  de  $\mathbb{R}^2$ .

PRIMERA OBSERVA QUE  $d_{f(u)} \nu (d_u f(e_j)) = \frac{d}{dt} \Big|_0 \nu(f(u+te_j)) = \partial_{u_j} \nu$ .

$$\begin{aligned} \text{ENTONCES, } (f^* \Pi)_u (e_j, e_k) &= -d_{f(u)} \nu (d_u f(e_j)) \cdot d_u f(e_k) \\ &= -\partial_{u_j} \nu \cdot \partial_u z f =: h_{jk} \end{aligned}$$

PARA EVITAR DIFERENCIACIÓN DE (\*), PODEMOS USAR REGLA DE PRODUCTO a obtener  $\partial_{u_j} (\nu \cdot \partial_u z f) = \partial_{u_j} \nu \cdot \partial_u z f + \nu \cdot \partial_{u_j} \partial_u z f = -h_{jk} + \nu \cdot \partial_{u_j} \partial_u z f$  y OBSERVA QUE  $\nu \cdot \partial_u z f \equiv 0$ , ya que  $\partial_u z f$  es tangente a  $\Sigma$ .

entonces: (\*)  $h_{jk} = \nu \cdot \partial_{u_j} \partial_u z f$ , y TENEMOS la expresión

$$(f^* \Pi)_u ((u^1, u^2), (u^1, u^2)) = h_{11} (u^1)^2 + 2h_{12} u^1 u^2 + h_{22} (u^2)^2$$

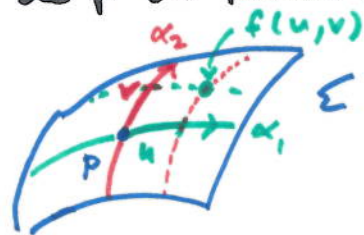
O BIEN LA FORMA  $\Pi$  tiene representación matricial en coordenadas por

$$h = \begin{pmatrix} h_{11} & h_{12} \\ h_{12} & h_{22} \end{pmatrix}. \quad \text{TAMBIÉN ESCRIBES } L = h_{11}, M = h_{12}, N = h_{22} \text{ para sus componentes.}$$

COORDENADAS CON LINEAS DE CURVATURA: Sea  $p \in \Sigma$  (puntos umbilicos) LA CONDICIÓN  $\kappa_1 \neq \kappa_2$  es satisfecho, entonces  $\exists$  barrio de  $p$  de puntos no umb. DE EXISTENCIA LOCAL DE SOLUCIONES A EDU'S, TENEMOS

líneas de curvatura  $\alpha_1, \alpha_2$  pasando por  $p$ .

CONSIDERA PARAMETRIZACIONES  $\alpha_1(u), \alpha_2(v)$  en  $\alpha_1(0) = \alpha_2(0) = p$  de tal línea. Parametrizamos



UN BARRO DE  $p$  por  $(u,v) \mapsto f(u,v) =$  intersección de líneas de curv.

pasando por  $\alpha_1(u), \alpha_2(v)$ . Debido a  $\partial_u f, \partial_v f$  son tangentes a líneas de curv., tenemos las expresiones:

$$g = f^* I = A(du)^2 + B(dv)^2, \quad h = f^* \Pi = \kappa_1 A(du)^2 + \kappa_2 B(dv)^2$$

$$\text{con } A(u,v), B(u,v) > 0$$

LA CURVATURA DE GAUSS es  $K := K_1 K_2$ , (7)  
 LA CURVATURA MEDIA es  $H := \frac{K_1 + K_2}{2}$ . \* PODEMOS TOMARLOS  
 COMO INVARIANTES EN LUGAR  
 DE  $K_1, K_2$ . \*

DEBIDO A QUE  $K_i$  PUEDEN CAMBIAR BAJO DOBLANDO, ES SUPREMENTE  
 QUE SE PUEDE EXPRESAR  $K$  solo en terminos de los coeficientes  
 $g_{ij}$  y sus derivadas - es decir  $K$  es un INVARIANTE INTRINSICA,  
 QUE NO CAMBIA BAJO DOBLANDO (debido a GAUSS - Teorema Egregium).  
 EN CUANTO DESARROLAMOS MÁS MAQUINARIA, MOSTRAMOS ESTE RESULTA  
 (PARA EVITAR UN POCO FORMULAS COMPLICADAS).

ALGUNOS RESULTADOS:

1) Existe coord's cartesianas alrededor  $p \in \Sigma$  para que  
 $\Sigma \cap U$  esta parametrizada por:

$$(u, v) \mapsto (u, v, K_1(p)u^2 + K_2(p)v^2) + \mathcal{O}_3(u, v).$$

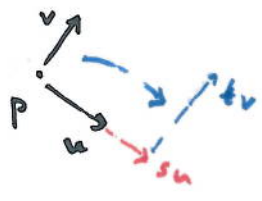
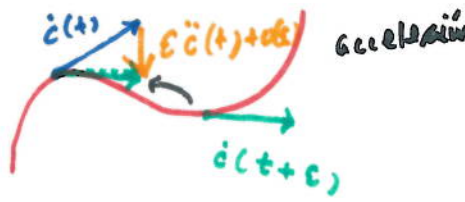
\* a diferencia con las curvas, los terminos de ALTA ORDEN NO  
 DEPENDEN solo de  $K_j', K_j'', \dots$  por  $p$ . \*

2) Si un BARRO  $\Sigma \cap U$  CONSISTE SOLO DE PUNTOS UMILICOS  
 entonces  $\exists p_0 \in E^3$ ,  $r \in \mathbb{R}_{>0}$  t.q.  $\Sigma \cap U = S_r^2(p_0) \cap U$ .

3) UNA FAMILIA DE SUPERFICIES ORTOGONAL DEPENDE POR 3-parametros  
 INTERSECTAN A LO LARGO LINEAS DE CURVATURA (DUPIN).

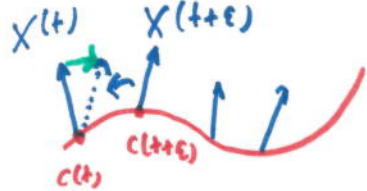
# CONEXIONES

EN CALCULANDO DERIVADAS DE ORDEN SUPERIOR DE APLICACIONES ENTRE ESPACIOS ABIERTOS/VECTORIALES, TOMAMOS VENTAJA DE LA IDENTIFICACION NATURAL ENTRE VECTORES TANGENTES BASADOS POR PUNTOS DIFERENTES.



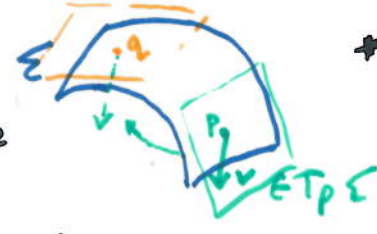
$$d_p^2 f(u, v) = \frac{d}{dt} \bigg|_{t=0} f(p + \epsilon u + tv)$$

Hessiano trazo



campo vectorial a lo largo una curva

$$d_{c(t)} X(c(t)) = \nabla_{\dot{c}(t)} X(t) := \frac{d}{dt} \bigg|_{t=0} X(t+\epsilon)$$



\* transporte paralelo de E^3, típicamente no envía vectores tang. a vectores tang.

LA EXTENSION DE TALES OPERACIONES A  $\Sigma \subset E^3$  EN UNA MANERA INTRINSECA, VA A REQUIRIR UNA NOCION INTRINSECA DE "transporte paralelo" de vectores tangentes a  $\Sigma$ , o bien algún procedo para identificar sus espacios tangentes POR PUNTOS DIFERENTES.

\* la nocion de geodésica es intrinseca, o bien que el componente tangente a  $\Sigma$  de la aceleración (determinado usando el transporte ambiente de  $E^3$ ) es cero ( $\kappa_{geo} = 0$ ). En general este filarotia de que proyección al componente tangente de derivadas tomado con LA ESTE AMBIENTE estarían derivadas intrinsecas (las cambian en el objeto medible por un curvatura vibiendo en  $\Sigma$ , no las cambian en el proyección al tangente).

\* tan pronto como uno PUEDE TOMAR DERIVADAS DE campos vectoriales a lo largo de curvas, PODEMOS DEFINIR UN TRANSPORTE PARALELO: identificamos  $X(t)$  y  $X(t')$  cuando la derivada  $X'(s)$ ,  $s \in (t, t')$  es cero.

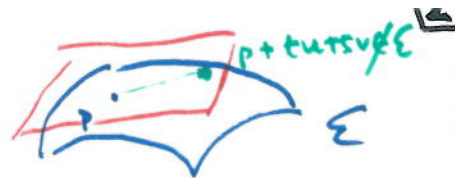
Para apreciar como usamos un 'transporte paralelo' a lo largo curvas en una superficie, CONSIDERAMOS como uno PUEDE INTENTAR DEFINIR el Hessiano de un función suave  $f: \Sigma \rightarrow \mathbb{R}$ .

\* OBSERVA QUE A PRIORI  $f$  solo esta definido por puntos en  $\Sigma$  \*

\* POR LO MISMO queriamos una APLICACION BILINEAL Y SIMÉTRICA

$$\text{Hess}_p(f) : T_p \Sigma \times T_p \Sigma \rightarrow \mathbb{R} \quad *$$

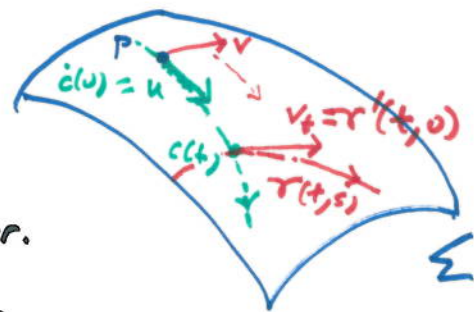
\* para  $u, v \in T_p \Sigma$ , típicamente  $f(p + t u + s v)$  no está definido, debido a  $p + t u + s v \notin \Sigma$



\* si extendemos  $u, v$  a campos vectoriales  $U, V$  tangente a  $\Sigma$  y con flujos  $\phi^t, \psi^s$  la derivada

$\frac{d^2}{dt ds} \Big|_{t=s=0} f(\psi^s \circ \phi^t(p))$  típicamente no es simétrica en  $u, v$ , y puede depender de las extensiones  $U, V$ .

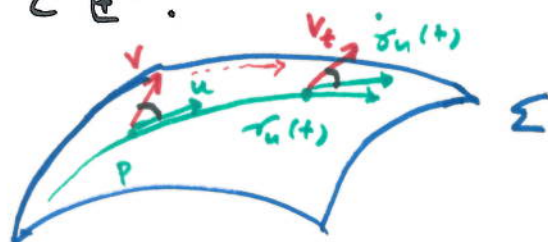
\* PENSANDO DE VECTORES TANGENTES como clases de curvas, sea  $c(t)$  una curva en  $\Sigma$  con  $\dot{c}(0) = u$ . TOMAMOS  $v_t$  para el transporte par.



de  $v \in T_{c(0)} \Sigma$  a  $T_{c(t)} \Sigma$  a lo largo de  $c$ , sea  $\gamma(t, s)$ , una curva en  $\Sigma$  con  $\frac{d}{ds} \Big|_s \gamma(t, s) = v_t$ . UN CANDIDATO PARA el Hessiano entonces será  $\text{Hess}_p(\#)(u, v) := \frac{d^2}{dt ds} \Big|_{t=s=0} f(\gamma(t, s))$ .

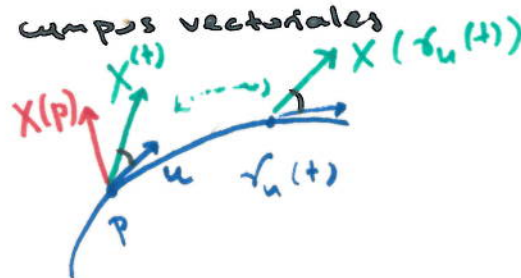
Delineamos tres definiciones / interpretaciones de la CONEXIÓN DE LEVI-CIVITA para  $\Sigma \subset \mathbb{E}^3$ .

1) EL TRANSPORTE PARALELO DE  $v \in T_p \Sigma$  a lo largo una geodésica,  $\gamma_u(t)$ , en la dirección  $u \in T_p \Sigma$  ( $\gamma_u(0) = p, \dot{\gamma}_u(0) = u$ ) esta determinado por la condición:  $\nabla_{\dot{\gamma}_u} v_t = 0$ .



Esto nos permite tomar derivadas de campos vectoriales  $X$  sobre  $\Sigma$  en direcciones  $u \in T_p \Sigma$ :

$$\nabla_u X := \frac{d}{dt} \Big|_{t=0} X(\gamma_u(t)) \in T_p \Sigma$$



donde el transporte paralelo de  $X^{(t)} \in T_p \Sigma$  a lo largo  $\gamma_u(t)$  es  $X(\gamma_u(t))$ .

2) TAMBIÉN PODEMOS DEFINIR LA DERIVADA COVARIANTE DE UN CAMPO VECTORIAL  $X$  sobre  $\Sigma$  en una dirección  $u \in T_p \Sigma$  por TOMANDO VENTAJA DE LA ESTRUCTURA AMBIENTE ( $\Sigma \subset \mathbb{E}^3$ ):

$\nabla_u X := \text{pr} \frac{d}{dt} \Big|_0 X(c(t)) \in T_p \Sigma$ , donde  $c(t)$  es una curva en  $\Sigma$  con  $c(0) = p, \dot{c}(0) = u$  y  $\text{pr}$  es la proyección al  $T_p \Sigma$ .

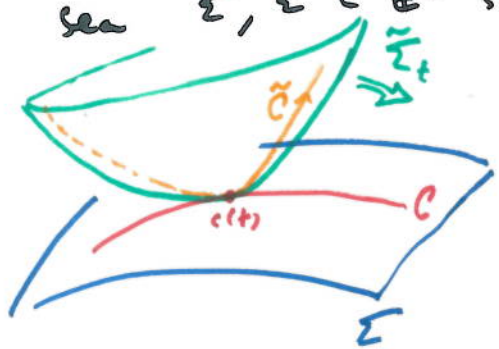
LA DERIVADA COVARIANTE NOS PERMITE DEFINIR UN TRANSPORTE PARALELO DE vectores tangentes a lo largo de curvas. SEA  $c(t) \in \Sigma$  UNA CURVA Y  $v \in T_{c(t)}\Sigma$ .

EL TRANSPORTE PARALELO DE  $v$  a lo largo de  $c$  es el campo vectorial  $v_t \in T_{c(t)}\Sigma$  sobre  $c$  que satisface:

$$\nabla_{\dot{c}(t)} v_t = 0 \quad \text{y} \quad v_0 = v.$$

3) TAMBIEN, UNO PUEDE DEFINIR UN TRANSPORTE PARALELO A LO LARGO DE CURVAS en  $\Sigma$  mediante un proceso DE RODANDO.

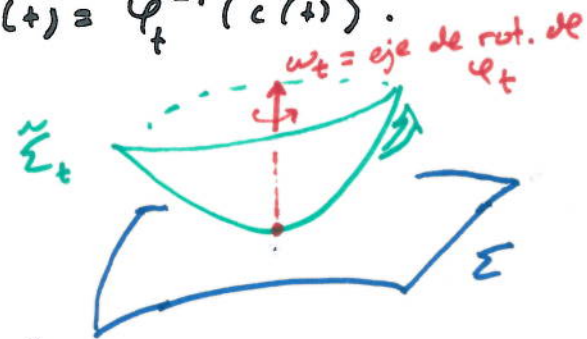
SEA  $\Sigma, \tilde{\Sigma} \subset \mathbb{E}^3$  SUPERFICIES Y  $C \subset \Sigma$  UNA CURVA.



UNA RODANDO DE  $\tilde{\Sigma}$  sobre  $\Sigma$  a lo largo de  $C \subset \Sigma$  es una curva DE ISOMETRIAS  $\varphi_t: \mathbb{E}^3 \rightarrow \mathbb{E}^3$  de espacio t.q.  $\tilde{\Sigma}_t := \varphi_t(\tilde{\Sigma})$  es tangente a  $\Sigma$  por algun punto  $c(t) \in C$ .

LA PISTA TRAZADA POR  $\tilde{\Sigma}$  del punto de CONTACTO DURANTE UN RODANDO se llama el DESARROLLADO de  $C$  por  $\tilde{\Sigma}$  durante LA RODANDO. esta curva,  $\tilde{C} \subset \tilde{\Sigma}$ , es parametrizado por  $\tilde{c}(t) = \varphi_t^{-1}(c(t))$ .

\* UNA RODANDO ES SIN RESBALARSE si para cada  $t$  fijado, la curva  $s \mapsto \varphi_s(\tilde{c}(t))$  tiene velocidad cero por  $s = t$ .

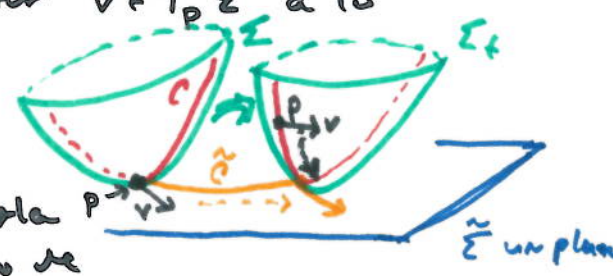


\* UNA RODANDO ES SIN TORCER si para cada  $t$ , el eje de la parte rotacional de  $\varphi_t$  esta contenido en el plano  $T_{c(t)}\Sigma = T_{c(t)}\tilde{\Sigma}_t = \varphi_t T_{\tilde{c}(t)}\tilde{\Sigma}$ .

DADO UNA CURVA  $C \subset \Sigma$  existe unica (NO CONSTANTE) RODANDO SIN RESB. y SIN TORCER,  $\varphi_t$ , de  $\tilde{\Sigma}$  sobre  $\Sigma$  a lo largo de  $C$ , cuando el punto INICIAL DE CONTACTO esta dado.

EN RODANDO  $\Sigma$  sobre  $\tilde{\Sigma}$  a lo largo de un TAL "sin resb. y sin torcer" DESARROLLADO  $\tilde{C}$  de  $C$ , la demovillado de  $\tilde{C}$  por  $\Sigma$  resulta  $C$ .

LA 'INTERPRETACIÓN ROLLANDO' de la conexión de Levi-Civita es para transportar paralelamente un vector  $v \in T_P \Sigma$  a lo largo una curva  $p \in C \subset \Sigma$ , ROLLAMOS SIN RESB. y sin torcer  $\Sigma$  sobre un PLANO A LO LARGO la desarrollada  $\tilde{C}$  de  $C$  en el plano. El campo vectorial paralelo  $v(x) \equiv v$  en el plano se traslada a la espesura tangente de  $\Sigma$  a lo largo de  $C$  durante este proceso con el transp. par. de  $v$  a lo largo de  $C$ .



\* la desarrollada de una línea  $\tilde{C} \subset \tilde{\Sigma}$  sobre  $C$  durante ROLLANDO  $C$  sin resb. y sin torcer es una geodésica de  $C$ .

\* la relación entre ROLLANDO y NUESTROS PRIMEROS DEFINICIONES sigue de: si  $Y_t$  es un campo vectorial a lo largo de una curva  $c(t) \in \Sigma$ , entonces su desarrolla por roll. sin resb. y sin tor. sobre  $\tilde{\Sigma}$ , un campo vectorial  $\tilde{Y}_t$  a lo largo  $\tilde{c}(t)$  satisface:

$$\dot{Y}_t \perp T_{c(t)} \Sigma \iff \dot{\tilde{Y}}_t \perp T_{\tilde{c}(t)} \tilde{\Sigma}$$

que sigue por considerando que  $R_t \tilde{Y}_t = Y_t$  donde  $R_t$  es el parte rotacional de  $\varphi_t$ , y diferenciación conduce a:

$$R_t \dot{\tilde{Y}}_t = \dot{Y}_t + Y_t \times \omega_t \in (T_{c(t)} \Sigma)^\perp \quad (\text{porque } \omega_t \text{ y } Y_t \in T_{c(t)} \Sigma)$$

y notar que  $R_t T_{\tilde{c}(t)} \tilde{\Sigma} = T_{c(t)} \Sigma$ .

FINALMENTE, OBTENEMOS UNA EXPRESIÓN PARA  $\nabla_{\dot{c}(t)} X(t)$  en coordenadas.

Sea  $u(t) = (u^1(t), u^2(t))$  una expresión de  $c(t)$  en coordenadas y  $\bar{X}(t) = (X^1(t), X^2(t))$  las componentes de  $X(t) \in T_{c(t)} \Sigma$  en las mismas coordenadas ( $\bar{X}(t) = (d_{u(t)} f)^{-1} X(t) \in T_{u(t)} \mathbb{R}^2 \cong \mathbb{R}^2$ ).

$$\begin{aligned} \text{entonces } \frac{d}{dt} X(t) &= \frac{d}{dt} X^i(t) \partial_{u^i} f(u(t)) + X^2(t) \partial_{u^2} f(u(t)) \\ &= \dot{X}^j \partial_{u^j} f + X^j \dot{u}^k \partial_{u^i} \partial_{u^k} f = \left( \dot{X}^j + X^i \dot{u}^k \Gamma_{ik}^j \right) \partial_{u^i} f + (X) \nu \end{aligned}$$

(usando la convención de sumación  $a^i b_i = a^1 b_1 + a^2 b_2$ )

DONDE EN (\*) USAMOS UNA OTRA PROPIEDAD DE LOS SIMBOLES DE CHRISTOFFEL, SOBRE SU RELACION CON SEGUNDA DERIVADAS.

LA PROYECCION AL PLANO TANGENTE de  $\Sigma$ , nos da:

$$\nabla_{\dot{u}} \bar{X}(t) = (\dot{X}^1 + X^i \dot{u}^j \Gamma_{ij}^1, \dot{X}^2 + X^i \dot{u}^j \Gamma_{ij}^2)$$

derivada covariante en coordenadas.

A verifiquez (\*), e más preciso que

$$\partial_{u^i} \partial_{u^k} f = \Gamma_{ik}^j \partial_{u^j} f + h_{ik} \nu$$

dejaros por ejercicio.

